Метод натяжения на упоры

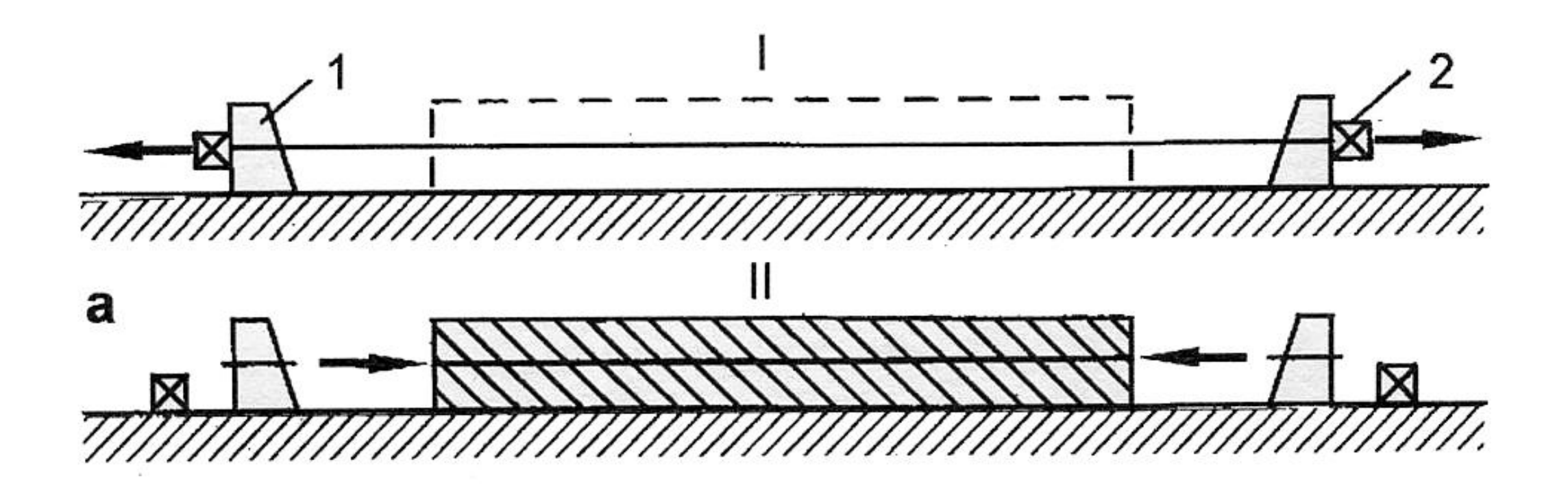


Рис. 5.1, а. Схема создания предварительного натяжения арматуры методом натяжения на упоры;

1 – упор; 2 – домкрат; 3 - анкер

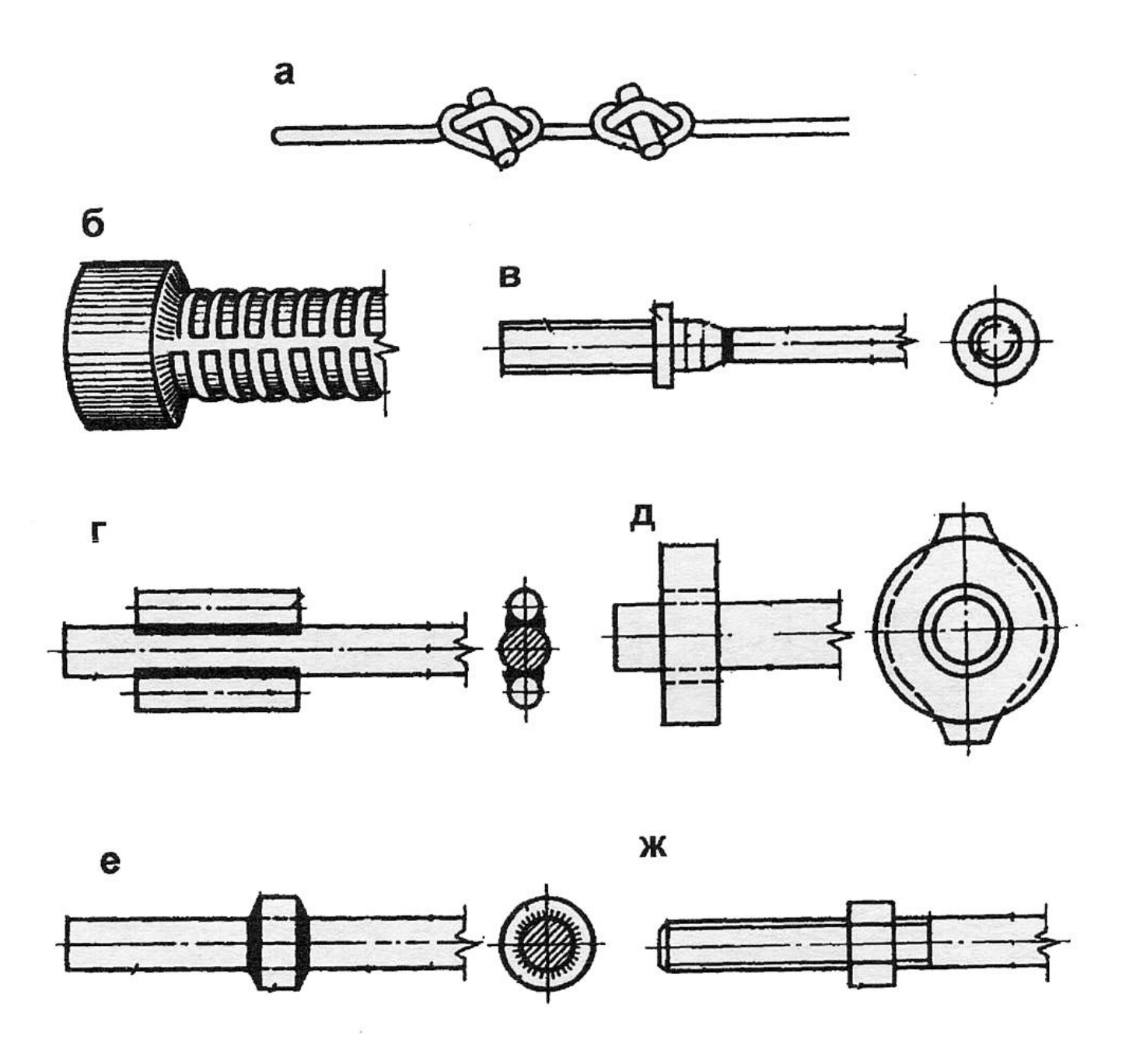


Рис. 5.2.

Методы анкеровки напрягаемой арматуры:

- а кольца с коротышами;
- б высаженная головка;
- в нарезной наконечник с гайкой;
- г приварка коротышей;
- д обжатая шайба;
- е приваренное кольцо;
- ж нарезной конец с гайкой

Метод натяжения на бетон

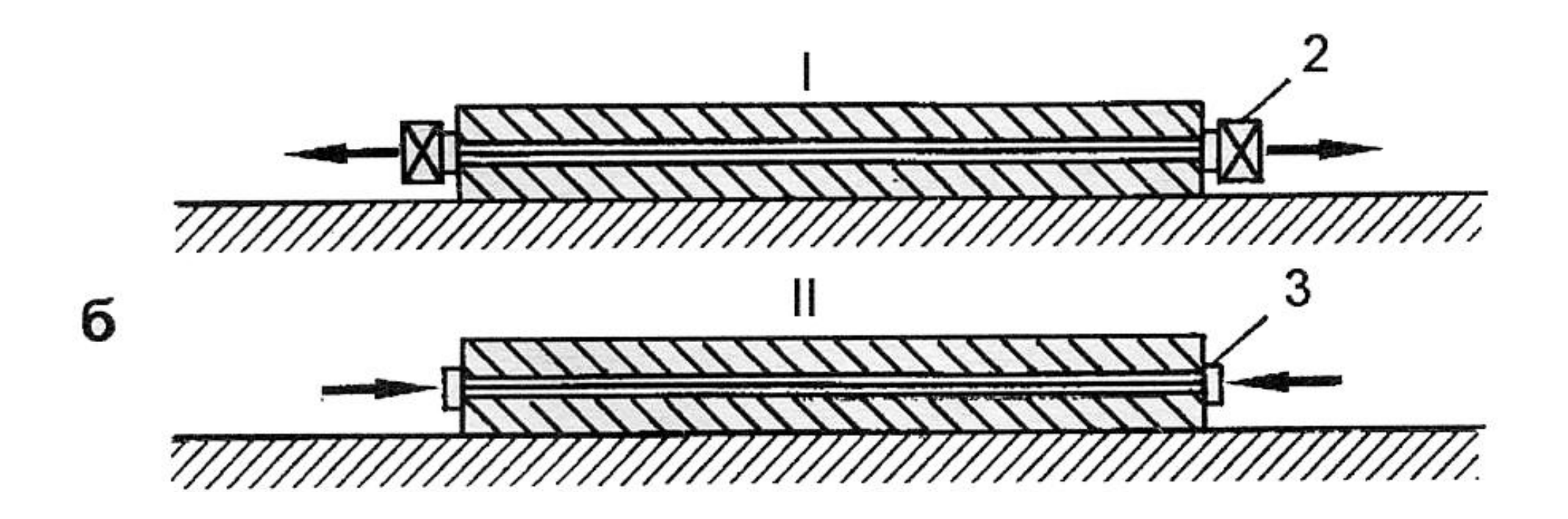


Рис. 5.1, б. Схема создания предварительного натяжения арматуры методом натяжения на бетон; 1 – упор; 2 – домкрат; 3 - анкер

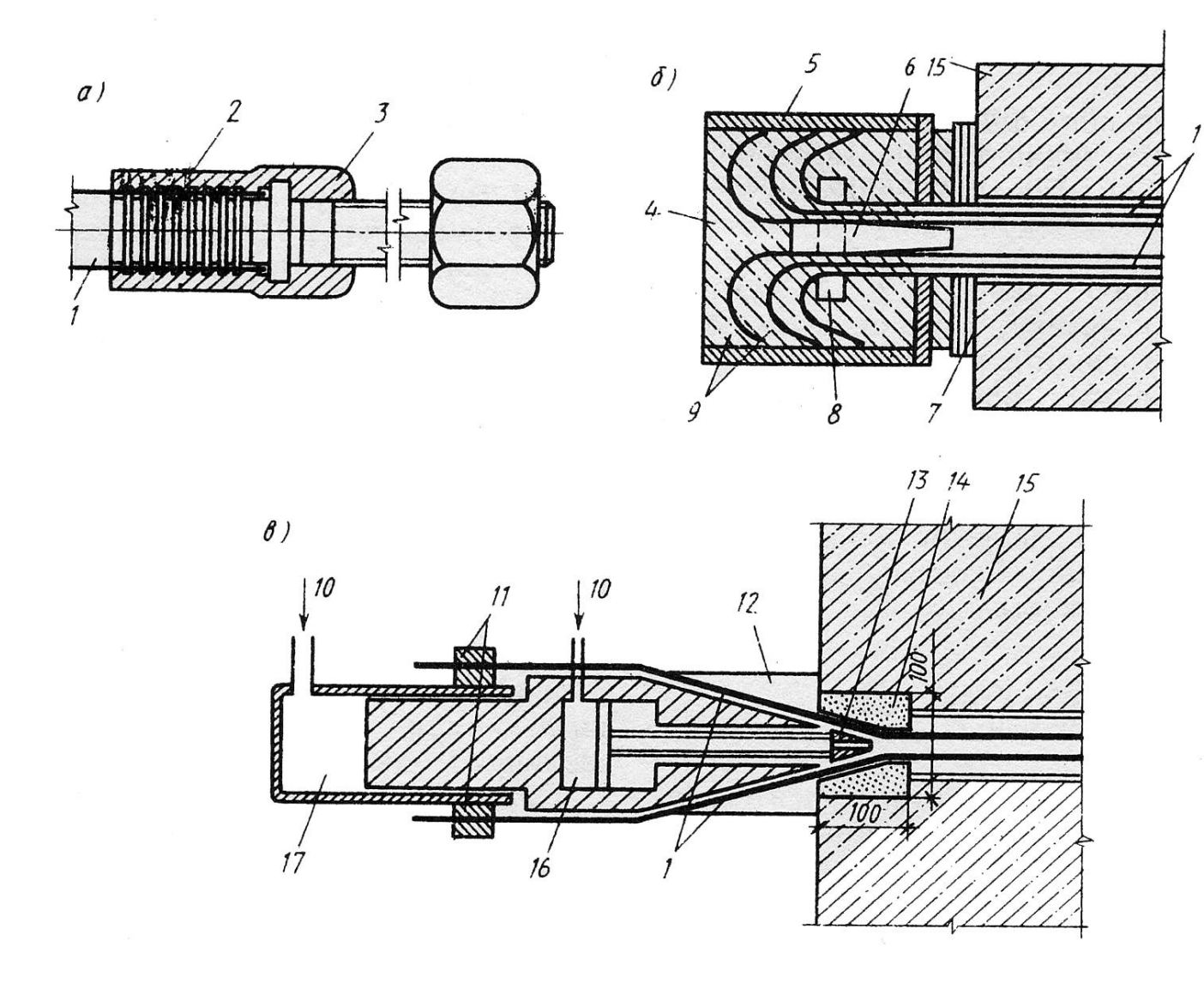


Рис. 5.3. Анкеровка напрягаемой проволочной арматуры при натяжении на бетон:

- а гильзостержневой анкер;
- б анкер стаканного типа;
- в анкер с конической пробкой;
- 1- напрягаемая проволока; 2 гильза;
- 3 стержень с нарезкой;
- 4 бетон, запрессованный в анкер;
- 5 стальной стакан; 6 стальной стержень;
- 7 стальные шайбы; 8 кольцо;
- 9 крюки на концах арматуры;
- 10 подача давления масла;
- 11 зажим для проволок;12- упор;
- 13 анкерная пробка; 14 обойма;
- 15 преднапрягаемая конструкция;
- 16 полость домкрата, заполняемая при запрессовке анкерной пробки;
- 17- полость домкрата, заполняемая при натяжении арматуры

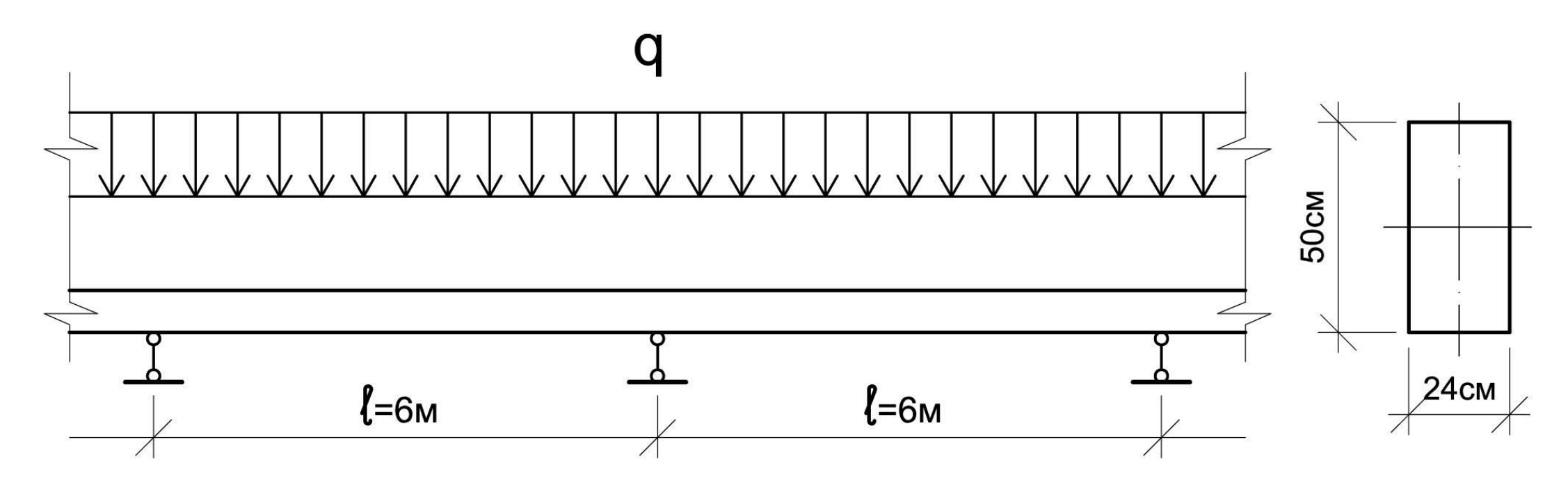


Рис. 5.4. К расчету неразрезной балки по методу предельного равновесия

$$\mathbf{M} \le \mathbf{M}_{\mathbf{n}\mathbf{l}},\tag{5.1}$$

где: \mathbf{M} - момент внутренних сил; $\mathbf{M}_{\mathbf{ul}}$ - предельный момент (момент в пластическом шарнире).

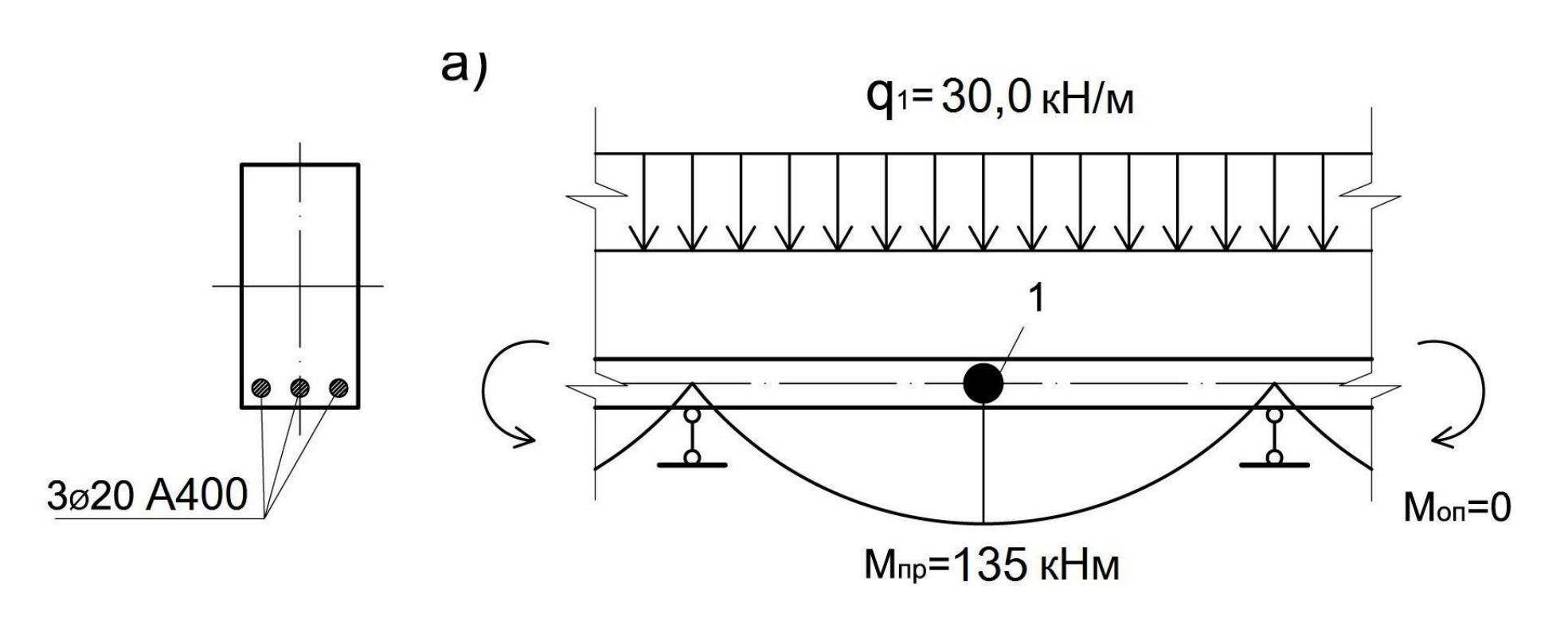


Рис. 5.5 а. Статически допустимые поля усилий и соответствующее армирование. Армирование по разрезной схеме; 1 - пластические шарниры

Вариант 1, рис. 5.5 а.

$$\begin{split} \mathbf{M} &= \mathbf{q} \ \ell^2/8 = 30,0 \cdot 36 \ / \ 8 = 135,0 \ \text{kHm.} \\ \mathbf{A}_s &= \ \mathbf{R}_b \ \mathbf{b} \ \mathbf{h}_0 [1 - (1 - 2\mathbf{M}/(\ \mathbf{R}_b \ \mathbf{b} \ \mathbf{h}_0^2))^{0,5}] \ / \ \mathbf{R}_s = \\ &= 14500 \cdot 0,24 \cdot 0,46 \cdot [1 - (1 - 2 \cdot 135/(14500 \cdot 0,24 \cdot 0,46^2))^{0,5}] \ / 350000 = 0,000933 \ \mathbf{m}^2 = 9,33 \ \mathbf{cm}^2 \end{split}$$

Принимаем армирование в виде трех стержней ø 20,

$$A_{S} = 9.42 \text{ cm}^2$$

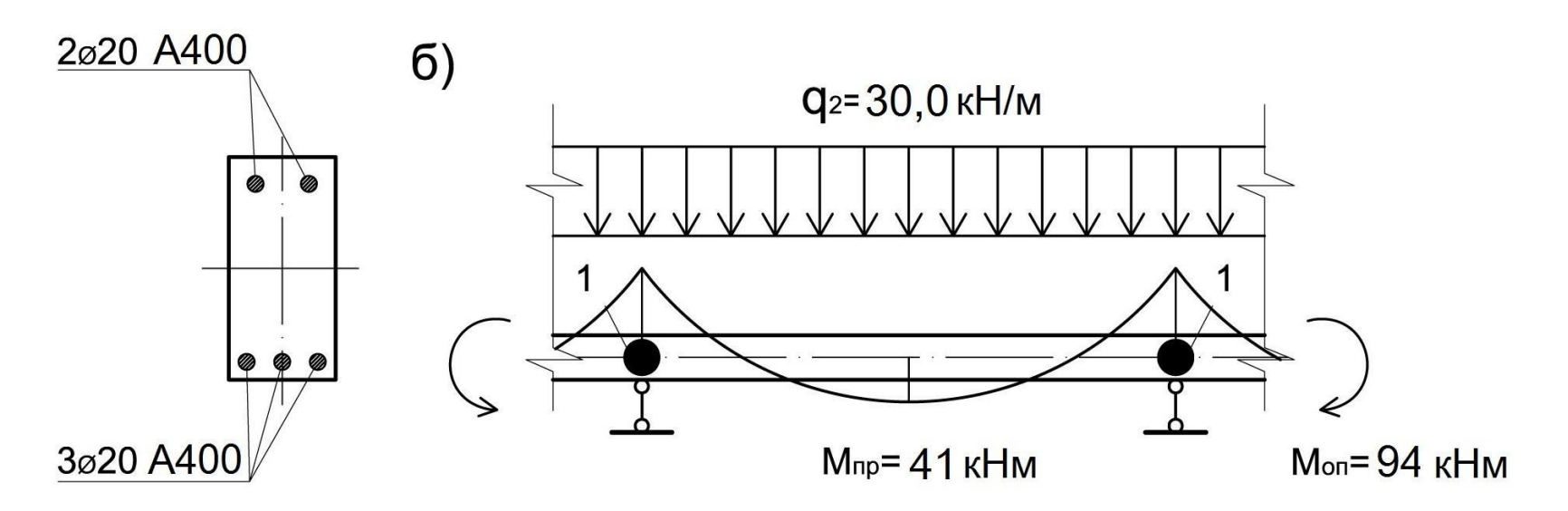


Рис. 5.5 б. Статически допустимые поля усилий и соответствующее армирование. Армирование по упругому распределению моментов; 1 - пластические шарниры

Вариант 2, рис. 5.5 б.

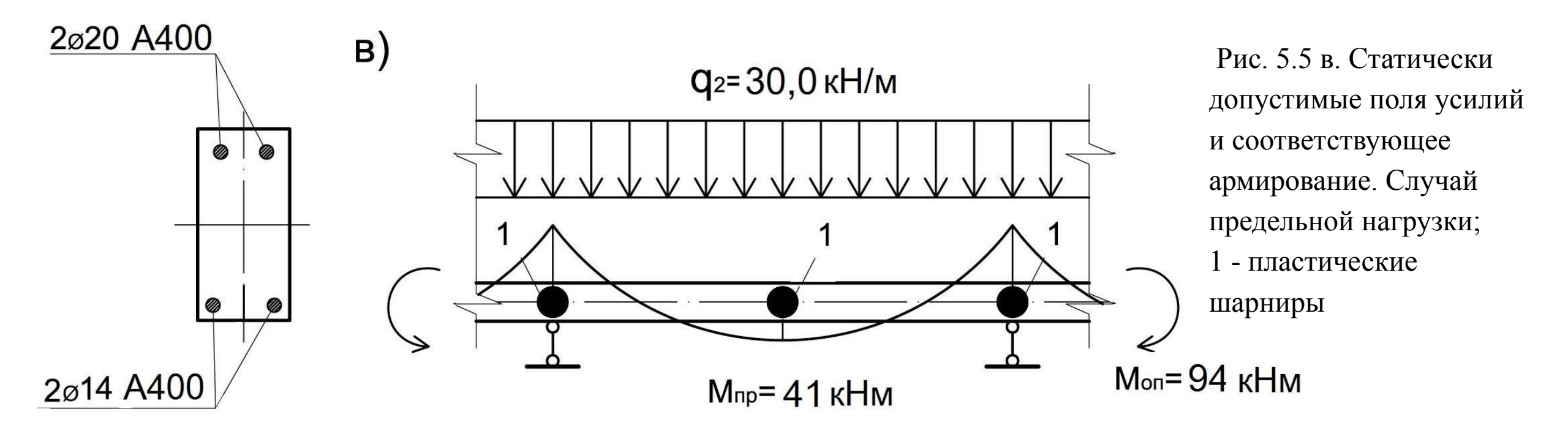
В этом случае момент над опорами равен

$$M = q \ell^2/12 = 30,0 \cdot 36 / 12 = 90,0 \text{ kHm}.$$

При этом необходимая площадь арматуры будет

$$A_s=R_b\,b\,h_0[1-(1-2M/(\,R_b\,b\,h^2_{\,0}))^{0.5}]/\,R_s=\\=14500\cdot0,24\cdot0,46\cdot[1-(1-2\cdot90,0/(14500\cdot0,24\cdot0,46^2))^{0.5}]/350000=0,000599\text{m}^2=5,99\text{ cm}^2.$$
 Принимаем для армирования над опорами два стержня ø 20, $A_S^{'}=6,28\text{ cm}^2$.

$$X = (R_S A_S^{'}) / (R_b b) = (35,0 \cdot 6,28) / (1,45 \cdot 24) = 6,32 \text{ см},$$
 $M_{off} = R_S A_S^{'} (h_o - 0,5 \text{ X}) = 35, 0 \cdot 6,28 \cdot 42,84 = 9416,23 \text{ кHcm} \approx 94 \text{ кHm}.$ $M_{fip} = 135 - 94 = 41 \text{ кHm}.$



Вариант 3, рис. 5.5 в.

$$A_{_{\rm S}}=R_{_{\rm b}}\,b\,h_{_0}[1\,-\!(1\,-\!2{\rm M/(}\,R_{_{\rm b}}\,b\,h_{_0}^2))^{0.5}]/\,R_{_{\rm S}}=\\=14500\cdot0,24\cdot0,46\cdot[1\,-\,(1\,-\,2\cdot41/(14500\cdot0,24\cdot0,46^2))^{0.5}]/350000=0,0002613~{\rm M}^2=2,613~{\rm cm}^2.$$
 Принимаем два стержня ø 14, $A_{_{\rm S}}=3,08~{\rm cm}^2.$

В неразрезных равнопролетных балках при равномерно распределенной нагрузке расчетные поперечные силы и моменты следует принимать по следующим соотношениям:

в первом пролете и над первой опорой

$$Q = 0.4 \text{ ql}$$
; $M = q\ell^2/11$; (5.2)

во второй от края опоре

$$Q = 0.6 \text{ ql}$$
; $M = q\ell^2/16$; (5.3)

в средних пролетах и над средними опорами

$$Q = 0.5 \text{ ql}$$
; $M = q\ell^2/16$. (5.4)